

## ДВИЖЕНИЕ ЗВЕЗД В СЛОИСТО-НЕОДНОРОДНЫХ ЭЛЛИПТИЧЕСКИХ ГАЛАКТИКАХ

© 2022 г. С. А. Гасанов\*

Московский государственный университет им. М.В. Ломоносова,  
Государственный астрономический институт им. П.К. Штернберга, Москва, Россия

\*E-mail: gasanov@sai.msu.ru, gasanovsa57@gmail.com

Поступила в редакцию 23.07.2021 г.

После доработки 16.10.2021 г.

Принята к публикации 01.11.2021 г.

На основе созданной ранее модели рассмотрена задача о пространственном движении пассивно-гравитирующего тела (ПГТ) в гравитационном поле слоисто-неоднородной эллиптической галактики (СНЭГ). Считается, что СНЭГ состоит из барионной массы (БМ) и темной материи (ТМ), которые обладают отличными друг от друга законами распределения плотности. В качестве ПГТ берется звезда или центр масс шарового скопления, в движении которого учитываются притяжения БМ и ТМ. Для получения точных результатов потенциалы притяжения БМ и ТМ не разлагаются в ряд, а берутся их точные выражения. Найден аналог интеграла Якоби, определена область возможности движения ПГТ, и построены поверхности нулевой скорости. Установлена устойчивость в смысле Ляпунова найденных стационарных решений – точек либрации. Полученные результаты применены к эллиптическим галактикам NGC 4472 (M 49), NGC 4697 и NGC 4374 (M 84).

*Ключевые слова:* эллиптическая галактика, барионная масса, темная материя, аналог интеграла Якоби, точки либрации, устойчивость в смысле Ляпунова

DOI: 10.31857/S0004629922020049

### 1. ВВЕДЕНИЕ

В работах [1, 2] рассмотрена задача о пространственном движении пассивно-гравитирующего тела (ПГТ) в гравитационном поле эллиптической галактики (ЭГ) согласно моделям 1 и 2. Аналогичная задача о движении ПГТ внутри (вблизи) шарового скопления (ШС), принадлежащего ЭГ, исследуется в [3].

Полученные в работах [1–3] результаты применены к модельным эллиптическим галактикам с параметрами, точно совпадающими с параметрами эллиптических галактик NGC 4472 (M 49), NGC 4697 и NGC 4374 (M 84) и приведены в виде рисунков и таблицы.

В работе [4] рассмотрены три новые модели ЭГ (Модели 3, 4 и 5). Наибольший интерес представляет Модель 5, согласно которой ЭГ вместе с гало (вариант 1) или без него (вариант 2) представляет собой неоднородный эллипсоид вращения – вытянутый сфероид, состоящий из БМ и ТМ. В качестве модели трехосной ЭГ выбран именно такой сфероид потому, что его динамические свойства весьма близки к свойствам трехосного эллипсоида [5]. Кроме того, в Модели 5 не следует рассматривать выполнение условий сшивки потенциалов, так как граница раздела между БМ

и ТМ в галактике отсутствует. Полученные в [4] результаты применены к шестидесяти ЭГ и приведены в виде таблиц для десяти из них.

Упомянутые выше модели предназначены для решения задач небесной механики и частично астрофизики. В рамках этих моделей сделана еще одна попытка исследовать влияние ТМ на кинематику и динамику ПГТ. Эти модели не могут претендовать на полноту охвата проблемы ТМ в целом. Тем более, по мнению одних авторов [6] основная часть ТМ находится вне светящейся части эллиптической галактики, а по мнению других [7, 8] – содержание ТМ во внутренних областях ЭГ сравнимо с содержанием БМ.

В настоящей работе на основе Модели 5 рассмотрена задача о пространственном движении ПГТ в гравитационном поле СНЭГ, имеющей форму вытянутого сфероида. Найден аналог интеграла Якоби, определена область возможного движения ПГТ, и построены поверхности нулевой скорости. Установлена устойчивость в смысле Ляпунова найденных стационарных решений – точек либрации.

Вопрос о равновесии и устойчивости динамической системы, исследованной в Модели 5, будет рассмотрен отдельно в другой работе автора.

## 2. ПОСТАНОВКА ЗАДАЧИ. УРАВНЕНИЯ ДВИЖЕНИЯ

Рассмотрим задачу о пространственном движении ПГТ в поле притяжения СНЭГ, согласно Модели 5 в системе координат  $OXYZ$ . Условные границы такой галактики определим по значениям величин  $D_{25}$  и  $R_{25}$  [9]. При этом  $OXYZ$  является системой координат с началом в центре ЭГ, вращающейся с постоянной угловой скоростью  $\Omega$  вокруг полярной оси  $OZ$  и с осями, направленными по соответствующим главным осям ЭГ. Прямоугольные координаты  $(x, y, z)$  ПГТ в этой системе координат определяются из системы уравнений [10]

$$\begin{aligned} \frac{d^2x}{dt^2} - 2\Omega \frac{dy}{dt} &= \frac{\partial U}{\partial x}, \\ \frac{d^2y}{dt^2} + 2\Omega \frac{dx}{dt} &= \frac{\partial U}{\partial y}, \\ \frac{d^2z}{dt^2} &= \frac{\partial U}{\partial z}. \end{aligned} \quad (1)$$

Здесь силовая функция  $U = U(x, y, z)$  определяется равенством

$$U = \frac{\Omega^2}{2}(x^2 + y^2) + V, \quad V = U^* + U_G, \quad (2)$$

где первое слагаемое представляет собой потенциал центробежной силы,  $V = V(x, y, z)$  – потенциал силы притяжения, а функцию  $U$  можно считать потенциалом силы тяжести.  $U^* = U^*(x, y, z)$  и  $U_G = U_G(x, y, z)$  – потенциалы БМ и ТМ СНЭГ соответственно, явный вид которых приведен в следующих разделах.

Для существования неоднородной ЭГ как фигуры равновесия должно удовлетворяться необходимое условие – неравенство Пуанкаре для угловой скорости вращения [11]:

$$\Omega^2 \leq 2\pi G\bar{\rho}, \quad (\Omega^2 \leq \pi G\rho_0, \quad \Omega^2 \leq 0.4\pi G\bar{\rho}). \quad (3)$$

Здесь  $G$  – гравитационная постоянная, а  $\bar{\rho}$  – средняя плотность неоднородной эллиптической галактики. Выполнение неравенства Пуанкаре гарантирует направление полной силы тяжести внутрь и неотрицательность давления. В скобках указаны более строгие неравенства Крудели и Кондратьева [12]. В неравенстве Крудели  $\rho_0$  – плотность в центре галактики и она убывает от центра к периферии. Кроме того, о направлении силы тяжести речь не идет.

Очевидно, что система уравнений (1) допускает аналог интеграла Якоби в виде [1, 2, 10]:

$$\left(\frac{dx}{dt}\right)^2 + \left(\frac{dy}{dt}\right)^2 + \left(\frac{dz}{dt}\right)^2 = 2U - 2C, \quad C = \text{const},$$

из которого легко получаются поверхности нулевой скорости и область возможности движения ПГТ,

$$U = C, \quad U \geq C$$

соответственно, где  $C$  – аналог постоянной Якоби.

## 3. ПОТЕНЦИАЛ БАРИОННОЙ МАССЫ СЛОИСТО-НЕОДНОРОДНОЙ ЭЛЛИПТИЧЕСКОЙ ГАЛАКТИКИ

Будем считать, что СНЭГ имеет форму неоднородного вытянутого сфероида, ограниченного сфероидальной поверхностью,

$$\begin{aligned} \frac{x^2}{a^2} + \frac{w^2}{c^2} &= m^2, \quad w^2 = y^2 + z^2, \\ a \geq b = c, \quad 0 &\leq m \leq 1, \end{aligned} \quad (4)$$

где значение параметра семейства  $m = 0$  соответствует центру СНЭГ, а  $m = 1$  – ее внешней границе. Законы распределения плотности  $\rho(m)$  и поверхностной яркости  $I(m)$  барионной массы определяются выражениями [3, 13, 14]

$$\begin{aligned} \rho(m) &= \frac{\rho_0}{(1 + \beta m^2)^{3/2}}, \\ I(m) &= \frac{I_0}{1 + \beta m^2} \end{aligned} \quad (5)$$

соответственно. Здесь  $\rho_0$  – плотность центра (ядра) эллиптической галактики,  $m$  – параметр семейства эллипсоидальных поверхностей (5), из которых состоит ее светящаяся часть, а параметр  $\beta \gg 1$  для каждой ЭГ выбирается отдельно [13] и находится выравниванием данных фотометрии [12, 13].  $I_0$  – центральная поверхностная яркость.

Профиль в виде (5) согласно [12] назовем “астрофизическим”, он согласуется с современными представлениями о строении ЭГ [13, 14].

Потенциал притяжения БМ СНЭГ с плотностью  $\rho(m)$  на внешнюю точку  $P = P(x, y, z)$  и его производные по координатным осям определяются равенствами [10, 12]

$$\begin{aligned} U^*(P) &= \pi Gac^2 \int_{\lambda}^{\infty} \frac{\delta(m^2(u))}{\Delta(u)} du, \\ \frac{\partial U^*(P)}{\partial R} &= -2\pi Gac^2 R \int_{\lambda}^{\infty} \frac{\rho(m^2(u)) du}{(A^2 + u)\Delta(u)}, \end{aligned} \quad (6)$$

где  $R$  — одна из координат  $(x, y, z)$ ,  $A^2 = \{a^2, c^2\}$ . Если профиль БМ определяется равенством (5), то

$$\begin{aligned} \delta(m^2(u)) &= \int_{m^2(u)}^1 \rho(v)dv^2 = \\ &= \frac{2\rho_0}{\beta} \left[ -\frac{1}{\sqrt{1+\beta}} + \frac{1}{\sqrt{1+\beta m^2(u)}} \right], \\ m^2(u) &= \frac{x^2}{a^2+u} + \frac{w^2}{c^2+u}, \\ \Delta^2(u) &= (a^2+u)(c^2+u)^2, \\ m^2(0) &= \frac{x^2}{a^2} + \frac{w^2}{c^2} > 1, \end{aligned} \quad (7)$$

причем выполнение условия  $m^2(0) > 1$  для координат внешней точки  $P$  СЧ ЭГ является обязательным. Параметр  $\lambda$  является положительным корнем квадратного уравнения  $m^2(\lambda) = 1$ :

$$\begin{aligned} \lambda^2 + p\lambda + q &= 0, \\ \lambda &= \frac{1}{2}(-p + \sqrt{\delta}), \\ \delta &= p^2 - 4q > 0, \end{aligned}$$

где

$$\begin{aligned} p &= a^2 + c^2 - x^2 - w^2, \\ q &= a^2 c^2 \left( 1 - \frac{x^2}{a^2} - \frac{w^2}{c^2} \right) = a^2 c^2 [1 - m^2(0)] < 0. \end{aligned}$$

В силу (7) имеем для  $p > 0$

$$\begin{aligned} c^2 m^2(0) &< x^2 + w^2 < a^2 m^2(0), \\ a^2 + c^2 - a^2 m^2(0) &< p < a^2 + c^2 - c^2 m^2(0). \end{aligned}$$

Очевидно, что потенциал  $U^*$  является функцией параметра  $\lambda$ , который, в свою очередь, зависит от координат внешней точки  $P = P(x, y, z)$ . После вычисления интеграла в (6) для внешнего потенциала получим:

$$U^*(P) \equiv U^*(\lambda) = \frac{2\pi G\rho_0 a c^2}{\beta} \left[ -\frac{U_1(\lambda)}{\sqrt{1+\beta}} + U_2(\lambda) \right], \quad (8)$$

где

$$\begin{aligned} U_1(\lambda) &= \int_{\lambda}^{\infty} \frac{du}{(c^2+u)\sqrt{a^2+u}} = \frac{\ln \varphi(\lambda)}{\sqrt{a^2-c^2}}, \\ \varphi(\lambda) &= \frac{\sqrt{a^2+\lambda} + \sqrt{a^2-c^2}}{\sqrt{a^2+\lambda} - \sqrt{a^2-c^2}}, \end{aligned}$$

$$\begin{aligned} U_2(\lambda) &= \int_{\lambda}^{\infty} \frac{du}{(c^2+u)\sqrt{a^2+u}\sqrt{1+\beta m^2(u)}} = \\ &= \int_{\lambda}^{\infty} \frac{du}{\sqrt{c^2+u}\sqrt{(u-v_1)(u-v_2)}} = \frac{2F(\alpha, n)}{\sqrt{-c^2-v_2}}. \end{aligned}$$

Здесь

$$\begin{aligned} v_1 &= \frac{-p_1 + \sqrt{\delta_1}}{2} < 0, \\ v_2 &= \frac{-p_1 - \sqrt{\delta_1}}{2} < 0, \\ \delta_1 &= p_1^2 - 4q_1 > 0, \\ p_1 &= a^2 + c^2 + \beta(x^2 + w^2) > 0, \\ q_1 &= a^2 c^2 \left( 1 + \beta \frac{x^2}{a^2} + \beta \frac{w^2}{c^2} \right) > 0, \end{aligned}$$

причем

$$\begin{aligned} v_1 + v_2 &= -p_1 < 0, \\ v_1 v_2 &= q_1 > 0, \\ c^2 + v_2 &< c^2 + v_1 < 0, \\ 0 &> v_1 > v_2. \end{aligned}$$

Аргумент  $\alpha$  и модуль  $n$  неполного эллиптического интеграла 1-го рода  $F(\alpha, n)$  равны

$$\alpha = \sqrt{\frac{-c^2-v_2}{\lambda-v_2}}, \quad n = \sqrt{\frac{v_1-v_2}{-c^2-v_2}} < 1.$$

Очевидно, что в начале координат (в центре галактики) значение потенциала  $U^*(\lambda)$  с учетом следующих равенств:

$$\begin{aligned} x &= 0, \quad w = 0, \\ m &= 0, \quad m^2(u) = 0, \\ \lambda &= 0, \quad \rho(m=0) = \rho_0, \\ U_2(\lambda) &\equiv U_1(\lambda) \end{aligned}$$

будет равно

$$\begin{aligned} U_0^* &= \frac{2\pi G\rho_0 a c^2}{\beta} \frac{\ln \varphi(0)}{\sqrt{a^2-c^2}} \left( 1 - \frac{1}{\sqrt{1+\beta}} \right), \\ \varphi(0) &= \varphi(\lambda=0), \end{aligned}$$

функция  $\varphi(\lambda)$  определена выше.

Последнее равенство можно получить и из выражения (8) потенциала  $U^*(\lambda)$ , положив в нем  $U_2(\lambda) = U_1(\lambda)$  и  $\lambda = 0$ .

Положив  $z = 0$ ,  $x \neq 0$ ,  $w = y \neq 0$  в соответствующие выражения, определяем параметр  $\lambda$ , корни  $v_1, v_2$ , затем значения функций  $U_1(\lambda)$  и  $U_2(\lambda)$ . После чего находим выражение потенциа-

ла  $U^*(\lambda)$  в плоскости  $OXY$ . Аналогично, при  $y = 0, x \neq 0, w = z \neq 0$  находим выражение потенциала  $U^*(\lambda)$  в плоскости  $OXZ$ .

Далее, в плоскости  $OYZ$  имеем

$$\begin{aligned} x &= 0, \\ m^2(u) &= \frac{w^2}{c^2 + u}, \\ \lambda &= w^2 - c^2, \\ v_1 &= -a^2, \\ v_2 &= -c^2 - \beta w^2. \end{aligned}$$

Тогда потенциал  $U^*(\lambda)$  будет определяться точно таким же равенством, что и (8), но лишь с той разницей, что параметр  $\lambda$  и функция  $U_2(\lambda)$  определяются иначе:

$$\begin{aligned} U_2(\lambda) &= \frac{2F(\alpha_0, n_0)}{\sqrt{h^2 - c^2}}, \\ \alpha_0 &= \sqrt{\frac{h^2 - c^2}{\lambda + h^2}}, \\ n_0 &= \sqrt{\frac{h^2 - a^2}{h^2 - c^2}}, \\ h^2 &= \beta w^2 + c^2. \end{aligned}$$

Здесь  $\alpha_0$  и  $n_0$  – аргумент и модуль неполного эллиптического интеграла 1-го рода  $F(\alpha_0, n_0)$ .

Производная от потенциала  $U^*(\lambda)$  по  $w$  согласно (6) равна

$$\begin{aligned} \frac{\partial U^*(\lambda)}{\partial w} &= -2\pi G\rho_0 a c^2 w \times \\ &\times \int_{\lambda}^{\infty} \frac{du}{\sqrt{(h^2 + u)^3 (a^2 + u)(c^2 + u)}} = \\ &= -\frac{4\pi G\rho_0 a c^2}{(h^2 - a^2)\sqrt{\beta}} [F(\alpha_0, n_0) - E(\alpha_0, n_0)], \end{aligned}$$

где  $F(\alpha_0, n_0), E(\alpha_0, n_0)$  – неполные эллиптические интегралы 1-го и 2-го рода соответственно. Величины  $\alpha_0, n_0$ , а также  $h^2$  определены выше. Положив в этих формулах  $z = 0$ , или  $y = 0$  получим выражения потенциала  $U^*(\lambda)$  и его производной на координатных осях  $OY$  или  $OZ$  соответственно. Здесь учтено, что  $x = 0$ .

Наконец, на координатной оси  $OX$  имеем

$$\begin{aligned} w &= 0, \\ m^2(u) &= \frac{x^2}{a^2 + u}, \end{aligned}$$

$$\begin{aligned} \lambda &= x^2 - a^2, \\ v_1 &= -c^2, \\ v_2 &= -a^2 - \beta x^2. \end{aligned}$$

В этом случае в выражении (8) потенциала  $U^*(\lambda)$  следует учесть

$$\begin{aligned} U_2(\lambda) &= \int_{\lambda}^{\infty} \frac{du}{(c^2 + u)\sqrt{a^2 + u}\sqrt{1 + \beta m^2(u)}} = \\ &= \int_{\lambda}^{\infty} \frac{du}{(c^2 + u)\sqrt{p^2 + u}} = \frac{\ln \phi_1(\lambda)}{\sqrt{p^2 - c^2}}, \end{aligned}$$

где

$$\begin{aligned} \phi_1(\lambda) &= \frac{\sqrt{p^2 + \lambda} + \sqrt{p^2 - c^2}}{\sqrt{p^2 + \lambda} - \sqrt{p^2 - c^2}}, \\ p^2 &= a^2 + \beta x^2. \end{aligned}$$

Производная от потенциала  $U^*(\lambda)$  по  $x$  имеет вид

$$\begin{aligned} \frac{\partial U^*(\lambda)}{\partial x} &= -2\pi G\rho_0 a c^2 x \times \\ &\times \int_{\lambda}^{\infty} \frac{du}{(c^2 + u)\sqrt{(p^2 + u)^3}} = \\ &= \frac{2\pi G\rho_0 a c^2 x}{p^2 - c^2} \left[ \frac{2}{\sqrt{p^2 + \lambda}} - \frac{\ln \phi_1(\lambda)}{\sqrt{p^2 - c^2}} \right]. \end{aligned}$$

Функция  $\phi_1(\lambda)$  и параметр  $p^2$  определены выше.

Теперь вычислим производные от потенциала  $U^*(\lambda)$  по координатам в общем случае:

$$\begin{aligned} \frac{\partial U^*(\lambda)}{\partial R} &= -2\pi G\rho_0 a c^2 R \bar{R}(\lambda), \\ R &= \{x, y, z\}, \\ \bar{R}(\lambda) &= \{X(\lambda), Y(\lambda), Z(\lambda)\}, \end{aligned} \tag{9}$$

где

$$\begin{aligned} X(\lambda) &= \int_{\lambda}^{\infty} \frac{c^2 + u}{\sqrt{c^2 + u}\sqrt{(u - v_1)^3 (u - v_2)^3}} du = \\ &= S_0 X_0(\lambda) + S_1(\lambda), \\ Y(\lambda) &= Z(\lambda) = \\ &= \int_{\lambda}^{\infty} \frac{a^2 + u}{\sqrt{c^2 + u}\sqrt{(u - v_1)^3 (u - v_2)^3}} du = \\ &= S_0 W_0(\lambda) + S_1(\lambda). \end{aligned}$$

Здесь

$$S_0 = \frac{2}{(v_1 - v_2)^2 \sqrt{-c^2 - v_2}},$$

$$S_1(\lambda) = \frac{2}{(v_1 - v_2)(c^2 + v_1)} \sqrt{\frac{\lambda + c^2}{(\lambda - v_1)(\lambda - v_2)}},$$

$$X_0(\lambda) = 2(c^2 + v_2)E(\alpha, n) - (2c^2 + v_1 + v_2)F(\alpha, n),$$

$$W_0(\lambda) = \frac{(a^2 + c^2)(v_1 + v_2) + 2(a^2 c^2 + v_1 v_2)}{c^2 + v_1} E(\alpha, n) - (2a^2 + v_1 + v_2)F(\alpha, n),$$

где корни  $v_1, v_2$ , а также аргумент  $\alpha$  и модуль  $n$  эллиптических интегралов 1-го и 2-го рода  $F(\alpha, n)$  и  $E(\alpha, n)$  приведены выше.

Далее можно установить, что потенциал  $U^*(\lambda)$ , определяемый формулой (7) или (8), обладает всеми характеристическими свойствами силовой функции:

- 1) является непрерывной функцией от координат  $x, y, z$  во всем пространстве;
- 2) имеет всюду в пространстве непрерывные первые частные производные; эти производные не имеют разрыва на границе эллипсоида, что следует из выражения (7), в котором для получения внутреннего потенциала следует положить  $\lambda = 0$ ;
- 3) на бесконечности вместе со своими первыми частными производными обращаются в нуль;
- 4) удовлетворяет уравнению Лапласа вне притягивающего тела СНЭГ, а внутри ( $\lambda = 0$ ) – уравнению Пуассона.

Доказательство этих свойств вытекает, в том числе, из характеристик профиля  $\rho(m)$ , который является положительной, конечной, непрерывной функцией и обладает непрерывными производными первого и второго порядков. Такой же функцией является и  $\delta(m^2(u))$ . Следовательно, несобственные интегралы в формуле (7) сходятся, а потенциал  $U^*(\lambda)$  и его первые производные по координатам являются конечными, непрерывными функциями от своих аргументов. Кроме того, если ПГТ удаляется в бесконечность, то  $\lambda$  тоже стремится к бесконечности. Поэтому силовая функция  $U^*(\lambda)$  и ее первые частные производные в бесконечности обращаются в нуль. Удовлетворение уравнений Лапласа и Пуассона проверяется вычислением частных производных от потенциала  $U^*(\lambda)$  второго порядка. Доказательство этого для краткости не приводится.

#### 4. ПОТЕНЦИАЛ ТЕМНОЙ МАТЕРИИ СЛОИСТО-НЕОДНОРОДНОЙ ЭЛЛИПТИЧЕСКОЙ ГАЛАКТИКИ

Для краткости и удобства рассмотрим только вариант 2 Модели 5, из которого элементарной подстановкой получим результаты варианта 1. В этом случае внешний потенциал такой галактики определится равенством  $\tilde{U}(\lambda) = U^*(\lambda) + U_G(\lambda)$ . Здесь  $U^*(\lambda)$  представляет собой потенциал БМ с профилем  $\rho(m)$  из (5) и определяется равенством (8), а  $U_G(\lambda)$  – потенциал ТМ с аналогом профиля  $\rho_G(m)$  NFW [4, 15]

$$\rho_G(m) = \frac{K}{\xi m(1 + \xi m)^2},$$

$$\xi = \frac{\sqrt[3]{ac^2}}{r_s},$$
(10)

где  $r_s$  – радиус-шкала галактики, а функции  $m^2(u)$  и  $\Delta(u)$  определяются равенством (7). Следовательно,

$$U_G(\lambda) = \pi Gac^2 \int_{\lambda}^{\infty} \frac{\chi(u)}{\Delta(u)} du,$$

$$\frac{\partial U_G(\lambda)}{\partial R} = -2\pi Gac^2 R \int_{\lambda}^{\infty} \frac{\rho_G(m(u)) du}{(A^2 + u)\Delta(u)}.$$
(11)

Здесь величины  $A^2, \lambda$  и функция  $\Delta(u)$  определены выше (см. раздел 3), а  $\chi(u)$  есть

$$\chi(u) = \int_{m^2(u)}^1 \rho_G(v) dv^2 = \frac{2K}{\xi^2} \left[ \frac{1}{1 + \xi m(u)} - \frac{1}{1 + \xi} \right].$$

Таким образом, потенциал  $U_G(\lambda)$  примет вид

$$U_G(\lambda) = \frac{2\pi GKac^2}{\xi^2} [J_1(\lambda) + J_2(\lambda)],$$
(12)

где

$$J_1(\lambda) = -\frac{1}{1 + \xi} \int_{\lambda}^{\infty} \frac{du}{\Delta(u)},$$

$$J_2(\lambda) = \int_{\lambda}^{\infty} \frac{du}{[1 + \xi m(u)]\Delta(u)}.$$

После интегрирования получим

$$J_1(\lambda) = -\frac{\ln \varphi(\lambda)}{(1 + \xi)\sqrt{a^2 - c^2}},$$

$$\varphi(\lambda) = \frac{\sqrt{a^2 + \lambda} + \sqrt{a^2 - c^2}}{\sqrt{a^2 + \lambda} - \sqrt{a^2 - c^2}},$$
(13)

$$J_2(\lambda) = \frac{1}{u_1 - u_2} \sum_{k=1}^2 (-1)^{k+1} \left[ \sqrt{a^2 + u_k} \ln \psi_k(\lambda) - \xi \sqrt{x^2 + w^2} \frac{\sqrt{f(u_k)}}{c^2 + u_k} \ln \eta_k(\lambda) \right], \quad (14)$$

где

$$u_1 = \frac{-p_2 + \sqrt{\delta_2}}{2} < 0,$$

$$u_2 = \frac{-p_2 - \sqrt{\delta_2}}{2} < 0,$$

$$\delta_2 = p_2^2 - 4q_2, \\ 0 > u_1 > u_2,$$

$$p_2 = a^2 + c^2 - \xi^2(x^2 + w^2),$$

$$q_2 = a^2 c^2 [1 - \xi^2 m^2(0)],$$

$$u_0 = \frac{c^2 x^2 + a^2 w^2}{x^2 + w^2}, \\ c^2 < u_0 < a^2,$$

$$\eta_k(\lambda) =$$

$$= \frac{2\sqrt{f(u_k)f(\lambda)} + (c^2 + u_k)(u_0 + \lambda) + (c^2 + \lambda)(u_0 + u_k)}{(\lambda - u_k)[2\sqrt{f(u_k)} + 2u_k + c^2 + u_0]},$$

$$f(u) = (u_0 + u)(c^2 + u),$$

$$\psi_k(\lambda) = \frac{\sqrt{a^2 + \lambda} + \sqrt{a^2 + u_k}}{\sqrt{a^2 + \lambda} - \sqrt{a^2 + u_k}}, \quad (k = 1, 2).$$

В плоскости  $OZY$  имеем

$$x = 0,$$

$$m^2(u) = \frac{w^2}{c^2 + u},$$

$$\lambda = w^2 - c^2 > 0.$$

В этом случае потенциал  $U_G(\lambda)$  выражается равенством (12), в котором функция  $J_1(\lambda)$  точно такая же, но функция  $J_2(\lambda)$  определяется иначе:

$$J_2(\lambda) = J_{21}(\lambda) - \xi w J_{22}(\lambda), \quad (15)$$

где

$$J_{21}(\lambda) = \int_{\lambda}^{\infty} \frac{du}{(u+h)\sqrt{a^2+u}} = \\ = \frac{1}{\sqrt{a^2-h}} \ln \frac{\sqrt{a^2+\lambda} + \sqrt{a^2-h}}{\sqrt{a^2+\lambda} - \sqrt{a^2-h}}, \\ h = c^2 - \xi^2 w^2, \quad (h < c^2 < a^2)$$

$$J_{22}(\lambda) = \int_{\lambda}^{\infty} \frac{du}{(u+h)\sqrt{(a^2+u)(c^2+u)}} = \\ = \frac{1}{\sqrt{(a^2-h)(c^2-h)}} \times \\ \times \left[ \ln \frac{(\sqrt{(a^2+\lambda)(c^2-h)} + \sqrt{(c^2+\lambda)(a^2-h)})^2}{\lambda+h} - \right. \\ \left. - \ln (\sqrt{a^2-h} + \sqrt{c^2-h})^2 \right].$$

Положив  $w = y$  или  $w = z$  в функциях  $J_1(\lambda)$  и  $J_2(\lambda)$ , получим выражения потенциала  $U_G(\lambda)$  на координатных осях  $OY$ , или  $OZ$  соответственно.

На координатной оси  $OX$  имеем

$$w = 0,$$

$$m^2(u) = \frac{x^2}{a^2 + u},$$

$$\lambda = x^2 - a^2 > 0.$$

Тогда для функции  $J_2(\lambda)$  находим

$$J_2(\lambda) = \frac{1}{a^2 - c^2 - \xi^2 x^2} \left[ \sqrt{a^2 - c^2} \ln \varphi(\lambda) - \right. \\ \left. - \xi \sqrt{x^2} \ln \frac{(\xi \sqrt{x^2} + \sqrt{a^2 + \lambda})^2}{\lambda + c^2} \right]. \quad (16)$$

Здесь функция  $\varphi(\lambda)$  определена выше. Потенциал  $U_G(\lambda)$  при этом выражается равенством (12), в котором выражение функции  $J_1(\lambda)$  остается точно таким же, а  $J_2(\lambda)$  определяется равенством (16).

Наконец, значение потенциала в начале координат (в центре галактики) равно

$$U_G^0 = U_G(\lambda = 0) = \frac{2\pi G K a c^2 \ln \varphi(\lambda = 0)}{\xi(1 + \xi) \sqrt{a^2 - c^2}}, \quad (17)$$

где функция  $\varphi(\lambda)$  определена выше.

Заметим, что согласно варианту 1 Модели 5 ЭГ рассматривается как неоднородный вытянутый сфероид, состоящий из БМ и ТМ с соответствующими профилями  $\rho(m)$  и  $\rho_G(m)$  вместе с гало. Если считать, что СНЭГ вместе с гало ограничена вытянутой сфероидальной поверхностью с полуосями  $\tilde{a} > \tilde{b} = \tilde{c}$ , то в этом случае в выражениях (8) и (12) потенциалов  $U^*(\lambda)$  и  $U_G(\lambda)$  и их производных следует произвести замену  $a, c$  на  $\tilde{a}, \tilde{c}$ . После чего получим и явное выражение для общего потенциала  $\tilde{U}(\lambda) = U^*(\lambda) + U_G(\lambda)$  согласно этому варианту Модели 5, которое для краткости не приведено.

**Таблица 1.** Координаты (кпк) коллинеарных  $L_2(x_0, 0, 0)$ ,  $L_3(-x_0, 0, 0)$  и треугольных  $L_4(0, y_0, 0)$ ,  $L_5(0, -y_0, 0)$  точек либрации, найденных согласно вариантам 1 и 2 Модели 5 для трех ЭГ. Галактики считаются неоднородными вытянутыми сфероидами с полуосями  $a > b = c$

Эллиптические галактики	Полуоси, кпк		Варианты	Точки либрации	
	$a$	$b = c$		$x_0$	$y_0$
NGC 4374	19.947	17.373	1	442.547	441.301
			2	22.543	22.189
NGC 4472	22.166	18.437	1	532.375	530.406
			2	24.735	24.171
NGC 4697	9.991	6.304	1	508.274	506.522
			2	11.121	10.583

Кроме того, в этом варианте также не существует границы раздела между БМ и ТМ, т.е. нет необходимости определять условия сшивания потенциалов  $U^*(\lambda)$  и  $\tilde{U}_G(\lambda)$ .

### 5. СТАЦИОНАРНЫЕ РЕШЕНИЯ. ТОЧКИ ЛИБРАЦИИ

Для нахождения стационарных решений системы уравнений (1) в ней положим

$$\begin{aligned} x &= x_0 = \text{const}, \\ y &= y_0 = \text{const}, \\ z &= z_0 = \text{const}. \end{aligned}$$

Это нам даст систему алгебраических уравнений для нахождения стационарных решений в виде

$$\begin{aligned} \frac{\partial U(x_0, y_0, z_0)}{\partial x} &= 0, \\ \frac{\partial U(x_0, y_0, z_0)}{\partial y} &= 0, \\ \frac{\partial U(x_0, y_0, z_0)}{\partial z} &= 0. \end{aligned} \tag{18}$$

При решении системы уравнений (18) будем рассматривать варианты 1 с гало и 2 без него Модели 5. Нулевое решение  $x_0 = 0$ ,  $y_0 = 0$  и  $z_0 = 0$  системы уравнений (18) соответствует центральной точке либрации, которую обозначим через  $L_1 = L_1(0, 0, 0)$ . На оси  $OX$  и  $OY$  имеются по две точки либрации, а именно  $L_2 = L_2(x_0, 0, 0)$  и  $L_3 = L_3(-x_0, 0, 0)$  на оси  $OX$ ,  $L_4 = L_4(0, y_0, 0)$  и  $L_5 = L_5(0, -y_0, 0)$  на оси  $OY$ .

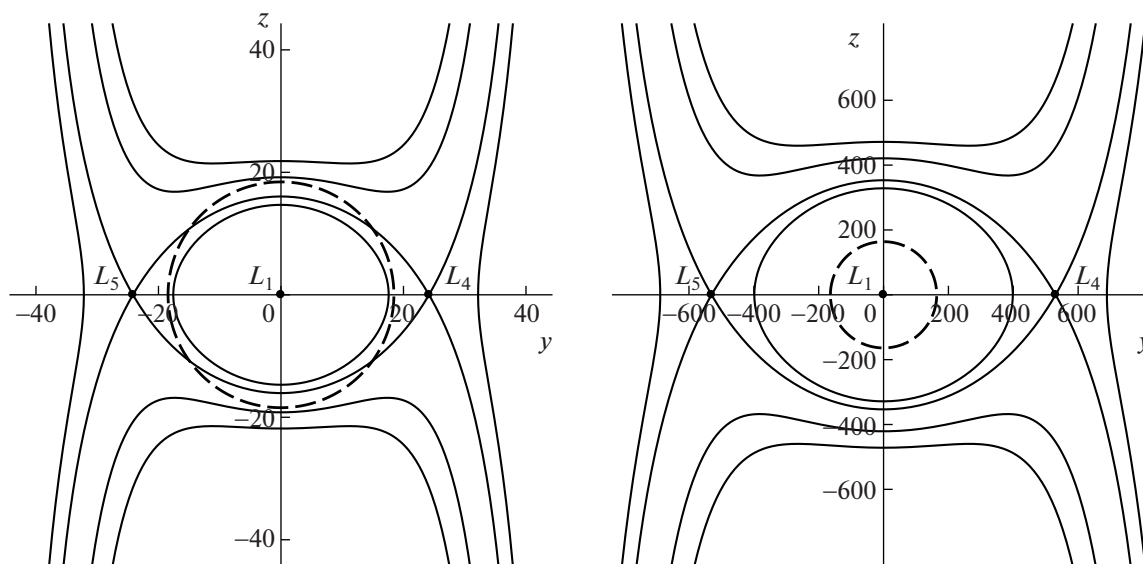
В табл. 1 приведены значения координат (в кпк) коллинеарных  $L_2, L_3$  и треугольных  $L_4, L_5$  точек либрации, вычисленные по вариантам 1 и 2 Моделям 5 для трех ЭГ: NGC 4374, NGC 4472 и NGC 4697, считающихся слоисто-неоднородными вытянутыми сфероидами.

### 6. ТИП И УСТОЙЧИВОСТЬ ОСОБЫХ ТОЧЕК

Особыми точками семейства  $U = C$  являются точки, в которых невозможно построить единственную касательную плоскость. Для определения таких точек получим систему алгебраических уравнений, точно совпадающую с системой (18) для определения точек либрации. Следовательно, точки либрации  $L_n$  являются особыми точками.

Для исследования типа и установления устойчивости особых точек – точек либрации – силовая функция  $U$  разлагается в ряд Тейлора в окрестности  $L_n$  ( $n = 1, 2, \dots, 5$ ) и записывается семейство поверхностей нулевой скорости  $U = C$  (см. раздел 2). Затем рассматривается движение ПГТ вблизи этих точек, которое выражается системой дифференциальных уравнений в вариациях. После чего записывается характеристическое уравнение этой системы и в зависимости от значений корней этого уравнения, согласно известной теореме Ляпунова, устанавливается устойчивость точек либрации  $L_n$  в смысле Ляпунова в первом приближении (или в линейной постановке). Вся эта процедура подробно описана в работах автора [2, 3], поэтому здесь для краткости она не приведена.

Тип и устойчивость центральной точки либрации  $L_1(0, 0, 0)$  одинаковы во всех моделях: это изолированная особая точка, устойчивая в смысле Ляпунова в первом приближении и в нелинейной постановке. Найденные согласно Моделям 3, 4 и 5 в данной работе коллинеарные точки либрации  $L_2$  и  $L_3$  являются коническими особыми точками с осью конуса  $OX$  и неустойчивы в смысле Ляпунова в первом приближении, а треугольные точки либрации  $L_4$  и  $L_5$  являются особыми точками с осью конуса  $OZ$  и они устойчивы. Следовательно, если ПГТ (например, звезда) окажется очень близко к треугольным точкам либрации  $L_4$  или  $L_5$ , то она будет там находиться вечно, т.е. имеет место устойчивость по Хиллу.



**Рис. 1.** Поверхности нулевой скорости с коллинеарными  $L_1$  ( $L_2$ ,  $L_3$ ) и треугольными  $L_4$ ,  $L_5$  точками либрации для ЭГ NGC 4472 для Модели 5 в плоскости  $x = 0$ . Слева – по варианту 2 без гало, а справа – по варианту 1 вместе с гало. Штриховой линией обозначены границы светящейся части галактики (слева) и гало галактики (справа). Координаты указаны в килопарсеках.

Заметим, что в работах [16–18] также показана неустойчивость точек либрации  $L_2$ ,  $L_3$  и устойчивость  $L_4$  и  $L_5$  в смысле Ляпунова. Кроме того, нелинейный анализ показал, что  $L_4$  и  $L_5$  устойчивы для большинства начальных условий в смысле меры Лебега, исключая лишь некоторые резонансные случаи, когда имеет место неустойчивость [18].

## 7. ПРИМЕРЫ ПОСТРОЕНИЯ ПОВЕРХНОСТЕЙ НУЛЕВОЙ СКОРОСТИ

Процедура и метод построения поверхностей нулевой скорости, или поверхностей Хилла, подробно описаны в работе автора [3]. Поэтому здесь на них останавливаться не будем. В качестве примера возьмем эллиптические галактики NGC 4374 типа E1, NGC 4472 типа E2 и NGC 4697 типа E4, которые мы считаем слоисто-неоднородными вытянутыми сфероидами с полуосями  $a > b = c$ . Ниже приведены значения ключевых параметров этих галактик: звездной массы  $M^*$  и массы  $M_h$  гало (в массах Солнца), радиус-шкалы  $r_s$  в кпк, угловой скорости вращения галактик  $\Omega$  в радианах на млн. лет, параметров  $\beta$  и  $K$  (в массах Солнца на кубический парсек), вычисленных по известной формуле, а также значения полуосей  $a$ ,  $b = c$  в кпк и плотности  $\rho_0$  в центре галактики, выраженной в массах Солнца на кубический парсек:

- **NGC 4374:**  $M^* = 3.38844 \times 10^{11} M_\odot$ ,  $M_h = 1.5674 \times 10^{13} M_\odot$ ,  $\Omega = 0.01386$ ,  $\beta = 1815$ ,  $r_s = 168.80$ ,  $a = 19.947$ ,  $b = c = 17.373$ ,  $K = 0.167 \times 10^{-3}$ ,  $\rho_0 = 132.71$ ;
- **NGC 4472:**  $M^* = 4.67735 \times 10^{11} M_\odot$ ,  $M_h = 2.172 \times 10^{13} M_\odot$ ,  $\Omega = 0.0139$ ,  $\beta = 858$ ,  $r_s = 197.0$ ,  $a = 22.166$ ,  $b = c = 18.437$ ,  $K = 0.1467 \times 10^{-3}$ ,  $\rho_0 = 50.844$ ;
- **NGC 4697:**  $M^* = 1.4125 \times 10^{11} M_\odot$ ,  $M_h = 6.494 \times 10^{12} M_\odot$ ,  $\Omega = 0.02524$ ,  $\beta = 650$ ,  $r_s = 130.5$ ,  $a = 9.991$ ,  $b = c = 6.304$ ,  $K = 0.3459 \times 10^{-3}$ ,  $\rho_0 = 194.589$ .

На рис. 1 приведены построенные поверхности нулевой скорости с коллинеарными  $L_1$  ( $L_2$ ,  $L_3$ ) и треугольными  $L_4$ ,  $L_5$  точками либрации для ЭГ NGC 4472 по Модели 5 в плоскости  $x = 0$ . Слева по варианту 2 без гало, а справа по варианту 1 вместе с гало галактики. Координаты указаны в килопарсеках.

## 8. ЗАКЛЮЧЕНИЕ

На основе созданной новой Модели 5 для решения задач небесной механики и астрофизики рассмотрено пространственное движение пассивно-гравитирующего тела (ПГТ) в гравитационном поле слоисто-неоднородной эллиптиче-



ской галактики (СНЭГ). Согласно Модели 5, ЭГ вместе с гало (вариант 1) или без него (вариант 2) представляет собой слоисто-неоднородный вытянутый сфероид, состоящий из БМ и ТМ. Выбор вытянутого сфероида в качестве модели трехосной ЭГ объясняется тем, что его динамические свойства оказываются весьма близкими к свойствам трехосного эллипсоида. В этой модели не существует границы раздела между БМ и ТМ, поэтому определение условий сшивки потенциалов не рассматривается.

В качестве профиля БМ взят так называемый “астрофизический закон”, основанный на законе распределения поверхностной яркости Хаббла и хорошо моделирующий распределение плотности в ЭГ. Для ТМ берется аналог профиля NFW.

Найден аналог интеграла Якоби, определена область возможности движения пассивно-гравитирующего тела и построены поверхности нулевой скорости. Установлена устойчивость в смысле Ляпунова найденных стационарных решений — точек либрации. Найденные согласно Моделям 3, 4 и 5 в данной работе коллинеарные точки либрации  $L_2$  и  $L_3$  являются коническими особыми точками с осью конуса  $OX$  и неустойчивы в смысле Ляпунова в первом приближении, а треугольные точки либрации  $L_4$  и  $L_5$  являются особыми точками с осью конуса  $OZ$  и устойчивы. Определена поверхность вокруг СЧ ЭГ, внутри которой движения звезд или центра масс ШС оказываются устойчивыми по Хиллу.

Полученные результаты применены к эллиптическим галактикам NGC 4374, NGC 4472 (M 49) и NGC 4697 и приведены в виде рисунка и таблицы. Показано, что для получения точных результатов при нахождении точек либрации и исследовании их на устойчивость, вместо приближенных выражений потенциалов БМ и ТМ следует пользоваться их точными выражениями.

Исследование равновесия и устойчивости рассмотренных динамических систем по этим двум моделям будет проведено автором отдельно.

#### БЛАГОДАРНОСТИ

Автор выражает благодарность профессору Б. П. Кондратьеву за ценные советы и замечания.

#### СПИСОК ЛИТЕРАТУРЫ

1. С. А. Гасанов, Астрон. журн. **89** (6), 522 (2012).
2. С. А. Гасанов, Астрон. журн. **91** (3), 223 (2014).
3. С. А. Гасанов, Астрон. журн. **92** (3), 270 (2015).
4. С. А. Гасанов, в печати.
5. Б. П. Кондратьев, Астрон. журн. **59**, 458 (1982).
6. А. В. Засов, А. С. Сабурова, А. В. Хонперсков, С. А. Хонперсков, Успехи физ. наук **187**, 3 (2017).
7. G. Bertin, R. P. Saglia, and M. Stiavelli, **384**, 423 (1992).
8. M. Oguri, C. E. Rusu, and E. E. Falco, Monthly Not. Roy. Astron. Soc. **439**, 2494 (2014).
9. G. de Vaucouleurs, A. de Vaucouleurs, H. Corwin, R. J. Buta, G. Paturel, and P. Fouque, *Third Reference Catalogue of Bright Galaxies. VV. 2, 3* (N.Y.: Springer-Verlag, 1991).
10. Г. Н. Дубошин. *Небесная механика. Основные задачи и методы* (М.: Наука, 1968).
11. H. Poincaré, *Leçons sur les hypothèses cosmogoniques* (Paris: Librairie Scientifique A. Hermann et fils, 1911).
12. Б. П. Кондратьев, *Теория потенциала. Новые методы и задачи с решениями* (М.: Мир, 2007).
13. Б. П. Кондратьев, *Потенциалы и динамика моделей эллипсоидальных гравитирующих систем*. Кандидатская диссертация (М.: Моск. физ.-техн. ин-т, 1982). 300 с.
14. E. Hubble, **71**, 231 (1930).
15. J. F. Navarro, C. S. Frenk, and S. D. M. White, **490**, 493 (1997).
16. Ю. В. Батраков, Бюлл. ИТА **6**, 524 (1957).
17. В. К. Абалакин, Бюлл. ИТА **6**, 543 (1957).
18. С. Г. Журавлев, Астрон. журн. **51**, 1330 (1974).